

ORIGINAL ARTICLE

Cadmium Removal from Aqueous Solutions using L-cysteine Functionalized Single-Walled Carbon Nanotubes

Mohammad Ali Zazouli¹,
ZabihAlla Yousefi¹,
Mahmoud Taghavi¹,
Behrouz Akbari-adergani²,
Jamshid Yazdani Cherati^{3,4}

¹ Department of Environmental Health Engineering, Health Sciences Research Center, Faculty of Health, Mazandaran University of Medical Sciences, Sari, Iran

² Food & Drug Laboratory Research Center, Food & Drug Organization, Ministry of Health and Medical Education, Tehran, Iran

³ Department of Biostatistics, Health Sciences Research Center, Faculty of Health, Mazandaran University of Medical Sciences, Sari, Iran

⁴ Psychiatry & Behavioral Sciences Research Center, Mazandaran University of Medical Sciences, Sari, Iran

(Received September 8, 2012 ; Accepted January 21, 2012)

Abstract

Background and purpose: Cadmium is a very toxic metal that have adverse effects on human health and aquatic environments even at low concentrations, therefore, efforts should be made to eliminate this metal from aquatic ecosystems. The aim of this study was to investigate the efficiency of L-cysteine functionalized single-walled carbon nanotubes (SWCNs) in cadmium removal from aqueous solutions. This study also assessed the role of some parameters such as pH, adsorbent dose, contact time and cadmium concentration.

Materials and methods: Single-walled carbon nanotubes were functionalized with L-cysteine. Then the optimum level of pH, carbon nanotubes dose, contact time, and cadmium concentration were determined during the adsorption process. The experimental data were compared with the Langmuir and Freundlich adsorption isotherm models.

Results: q_e increased when the pH level increased, while contact time and Cd concentration decreased by increasing of the carbon nanotubes dose. The Langmuir adsorption model agreed well with the experimental data ($R^2 = 0.997$). Efficiency of removal of Cd by SWCNs was 94.26% in optimal condition.

Conclusion: The results showed that L-cysteine functionalized single-walled carbon nanotubes could be effective for the removal of cadmium.

Keywords: Carbon nanotubes, cadmium, L-cysteine, adsorption

J Mazand Univ Med Sci 2013; 23(98): 37-47 (Persian).

حذف کادمیوم از محیط‌های آبی با استفاده از نanolوله‌های کربنی تک جداره عامل‌دار شده با ال-سیستئین

محمد علی ززوی^۱

ذیح ا... یوسفی^۱

محمود تقی^۱

بهروز اکبری‌آدرگانی^۲

جمشید یزدانی چراتی^۳

چکیده

سابقه و هدف: کادمیوم یک فلز بسیار سمی می‌باشد که حتی در غلظت‌های پایین نیز اثرات سویی بر سلامتی انسان‌ها داشته و باید از محیط‌های آبی حذف گردد. بنابراین این مطالعه با هدف بررسی کاربرد نanolوله‌های کربنی تک جداره اصلاح شده با ال-سیستئین در حذف کادمیوم از محیط‌های آبی و اثر پارامترهای pH، مقدار جاذب، زمان تماس و غلظت کادمیوم انجام شد.

مواد و روش‌ها: ابتدا نanolوله‌های کربنی تک جداره با ال-سیستئین عامل‌دار شده و اثر pH در انجام فرآیند جذب تعیین شد. در ادامه تأثیر مقدار نanolوله‌های کربنی، زمان تماس و غلظت کادمیوم در pH بهینه تعیین شد. داده‌های جذب با مدل ایزوترمی لانگمیر و فروندلیچ مطابقت داده شدند.

یافته‌ها: با افزایش pH، زمان تماس و غلظت کادمیوم میزانqe افزایش و با افزایش مقدار نanolوله‌های کربنی، کاهش یافت. ایزوترم فرآیند جذب از مدل ایزوترمی لانگمیر ($R^2 = 0.997$) پیروی می‌کند. راندمان نanolوله‌های کربنی تک جداره در شرایط بهینه ۹۴/۲۶ درصد می‌باشد.

استنتاج: به طور کلی نتایج نشان داد که می‌توان از نanolوله‌های کربنی تک جداره اصلاح شده با ال-سیستئین به عنوان یک فرآیند مؤثر در حذف کادمیوم استفاده کرد.

واژه‌های کلیدی: نanolوله‌های کربنی، کادمیوم، ال، سیستئین، جذب

مقدمه

افزایش استفاده از فلزات سنگین در طی چند دهه گذشته منجر به افزایش این عناصر در آب‌های زیرزمینی و آب‌های سطحی و همچنین آب‌های آشامیدنی شده است که خطرات بهداشتی و سلامتی و اکولوژیکی جدی را به همراه داشته است^(۱،۲). منبع این فلزات فعالیت‌های انسانی و برخی پدیده‌های طبیعی می‌باشد^(۳). در میان

برخی فلزات سنگین برای زندگی انسان ضروری هستند و نقش غیرقابل جایگزینی در سیستم متابولیکی انسان دارند. اما برخی دیگر از این عناصر به عنوان گزنویوبوتیک شناخته می‌شوند و نه تنها نقش مثبتی در فیزیولوژی انسانی ندارند بلکه حتی ممکن است حتی در غلظت‌های پایین هم ممکن است سمی باشند^(۴). امروزه

E-mail: Taghavim66@yahoo.com

مؤلف مسئول: محمود تقی- ساری: کیلومتر ۱۸ جاده خزرآباد، مجتمع دانشگاهی پیامیر اعظم، دانشکده بهداشت

۱. گروه مهندسی بهداشت محیط، مرکز تحقیقات علوم بهداشتی، دانشکده بهداشت، دانشگاه علوم پزشکی مازندران

۲. مرکز تحقیقات آزمایشگاهی غذا و دارو، سازمان غذا و دارو، وزارت بهداشت درمان و آموزش پزشکی، تهران، ایران

۳. گروه آمار زیستی، مرکز تحقیقات علوم بهداشتی، دانشکده بهداشت، دانشگاه علوم پزشکی مازندران

۴. مرکز تحقیقات روان پزشکی و علوم رفتاری، دانشگاه علوم پزشکی مازندران

تاریخ دریافت: ۱۳۹۱/۶/۱۸ تاریخ ارجاع چهت اصلاحات: ۱۳۹۱/۷/۲۲ تاریخ تصویب: ۱۳۹۱/۱۱/۲

فلزات هستند. درحالی که نانولوله‌های کربنی ظرفیت جذب استثنائی و راندمان بالایی در حذف آلاینده‌های مختلف دارند. تحقیقات نشان داده‌اند که این مواد می‌توانند به عنوان یک جاذب خوب در حذف فلزات دوظرفیتی از جمله کادمیوم مطرح باشند^(۹). ازین‌رو هدف از این تحقیق تعیین راندمان حذف کادمیوم از محیط‌های آبی با استفاده از نانولوله‌های کربنی تک‌جداره عامل‌دار شده با ال-سیستین و تعیین اثر پارامترهایی نظیر pH، مقدار نانولوله‌های کربنی تک‌جداره، زمان تماس و غلظت کادمیوم بر فرآیند جذب می‌باشد.

مواد و روش‌ها

در این مطالعه موادی نظیر استاندارد کادمیوم، اسید نیتریک، اسید سولفوریک، اسید هیدروکلریک، دی‌متیل فرمامید، تری‌اکتل آمین، تیونیل کلراید، سیستین و هیدروکسید سدیم با درجه خلوص آزمایشگاهی ساخت شرکت Merck آلمان و اسید آژینیک به عنوان نمونه ماده آلی، ساخت شرکت فولوکا (Fluka Biochemical) استفاده شد. همچنین گاز ازت ۹۹/۹۹۹ مورد استفاده از شرکت روهمام گاز با خلوص ۱۰۰ میلی گرم بر لیتر آماده شد. برای این منظور، غلظت ۱۰۰ میلی گرم از نیترات کادمیوم ($\text{Cd}(\text{NO}_3)_2$)، بادرجه خلوص آزمایشگاهی، در ۱۰۰۰ میلی لیتر آب مقطр حل شد. سپس برای تهیه محلول‌های با غلظت کمتر، مقدار مناسب از محلول استوک با آب مقطر رفیق می‌شد و بلافاصله در آزمایشات جذب مورد استفاده قرار می‌گرفت.

برای انجام اصلاح نانولوله‌های کربنی از روش Liu و همکاران استفاده شد^(۱۰). در این روش به منظور افزایش جذب انتخابی نانولوله‌های کربنی در محیط آبی نسبت به یون‌های کادمیوم از روش اتصال گروه عاملی استفاده شد. ۱- ابتدا ۵ گرم نانولوله کربنی توزین شد. سپس آن را در داخل ۵۰ میلی لیتر محلول به نسبت سه

فلزات سنگین، کادمیوم یک فلز مهم است که در ساخت باتری‌ها، غالباً باتری‌های قابل شارژ نیکل-کادمیوم، استفاده می‌شود. علاوه‌براین به علت ضریب اصطکاک پایین و مقاومت خوب کادمیوم در مقابل فرسایش، این فلز در ساخت آلیاژ‌های مختلف نیز استفاده می‌شود^(۱). از دیگر منابع کادمیوم می‌توان به صنایع ذوب فلزات، صنایع آبکاری فلزات، کودهای فسفاته و رنگدانه‌ها اشاره کرد^(۳). کادمیوم یک فلز بسیار سمی است و ترکیبات حاوی کادمیوم می‌توانند سبب بروز انواع سرطان‌ها شوند. مواجهه با دوز حاد کادمیوم می‌تواند سبب بروز ناراحتی‌های تنفسی شود. مواجهه شغلی با کادمیوم می‌تواند به عنوان یک ریسک فاکتور بیماری‌های مزمن ریوی باشد و سبب بروز بیماری ایتای-ایتای، تخریب بافت بیضه‌ها و ساختار ویژه کلیه‌ها شود^(۱، ۳، ۴). کادمیوم توسط دبارتمان محیط زیست UK در لیست قرمز آلاینده‌های مقدم قرار گرفته است و همچنین در لیست سیاه راهنمای مواد خطرناک انجمن اقتصاد اروپا قرار گرفته است. آژانس حفاظت محیط زیست آمریکا این آلاینده را در گروه B1 از نظر سرطان‌زاوی قرار داده است^(۲). سازمان جهانی بهداشت (WHO) غلظت قابل قبول کادمیوم در آب آشامیدنی را 0.005 mg/l تعیین کرده است^(۱). فرآیندهای مختلفی برای حذف فلزات سنگین مورد استفاده قرار می‌گیرند که برخی از آن‌ها عبارتند از: ترسیب، ترسیب الکتریکی، انعقاد الکتریکی، فرآیندهای غشایی، استخراج با حلال، تبادل یون با استفاده از رزین، شناورسازی، فرآیندهای بیولوژیکی^(۴-۸).

جذب سطحی، به علت ارزان‌تر بودن و مؤثرتر بودن نسبت به سایر تکنولوژی‌ها، پرکاربردترین تکنولوژی اخیر برای حذف فلزات سنگین است به ویژه زمانی که این عناصر در غلظت‌های پایین در آب و فاضلاب وجود داشته باشند^(۱، ۷). مواد بسیاری به در فرآیند جذب سطحی مورد استفاده قرار گرفته‌اند. اما بسیاری از این مواد دارای راندمان پایین در حذف

۱۰، ۱۵، ۲۰، ۲۵، ۳۰، ۳۵ و ۴۰ گرم) بوده است، که در مراحل جداگانه در طول تحقیق بررسی گردید. برای انجام آزمایشات ابتدا pH بهینه در شرایط ثابت (زمان ۶۰ دقیقه، غلظت ماده جاذب برابر با ۳۰ میلیگرم در ۵۰ سی سی و غلظت اولیه کادمیوم برابر با ۶ میلی گرم در لیتر) تعیین گردید، که برابر با ۷ بود. پس از تعیین pH بهینه، آزمایشات با ثابت نگه داشتن سه متغیر و تغییر دادن یک متغیر انجام گردید. حجم نمونه با توجه به متغیرهای مورد بررسی، ۷۰ نمونه برآورد گردید. جهت تنظیم pH از اسید کلریدریک و سود ۱/۰ نرمال استفاده گردید. در هر آزمایش ۵۰ میلی لیتر از نمونه با غلظت مشخص از محلول کادمیوم با pH مشخص و مقدار جاذب مشخص در دمای محیط برروی شیکر با ۱۸۰ دور در دقیقه به مدت ۶۰ دقیقه هم زده شد. سپس برای جداسازی جاذب از محیط، از صافی با قطر منفذ μm ۰/۴۵ استفاده شد(۱۱).

برای اندازه گیری کادمیوم از دستگاه اتمیک اب سورپشن (مدل PerkinElmer AAS 100, Wellesley, MA) استفاده شد. پس از تعیین غلظت کادمیوم در نمونه های مورد آزمایش، مقدار کادمیوم جذب شده در زمان t ، (mg/g) q_t با استفاده از معادله زیر محاسبه شد(۱۲).

معادله (۱)

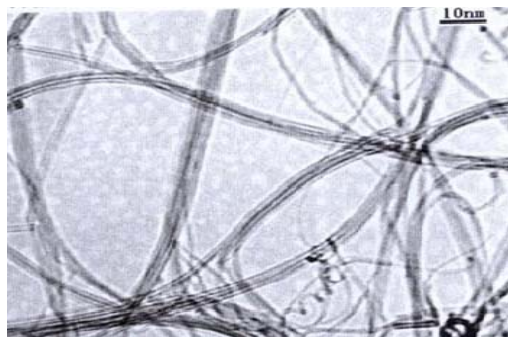
که در این معادله C_0 و C_t به ترتیب غلظت فلزات سنگین در زمان صفر و زمان t در نمونه می باشند. V حجم محلول و W وزن خشک جاذب مورد استفاده می باشد(۱۱). داده های تجربی تعادل جذب با مدل های ایزو ترم جذب فرون دلیچ و لانگمیر مورد بررسی قرار گرفت. همچنین سینیتیک واکنش با معادلات درجه صفر، درجه یک و درجه دو تعیین گردید.

مطالعات تعادلی در یک ارلن مایر به حجم ۱۰۰ سی سی حاوی ۵۰ میلی لیتر محلول با غلظت اولیه کادمیوم ۶ mg/L، با مقدار اولیه نانولوله های کربنی متفاوت

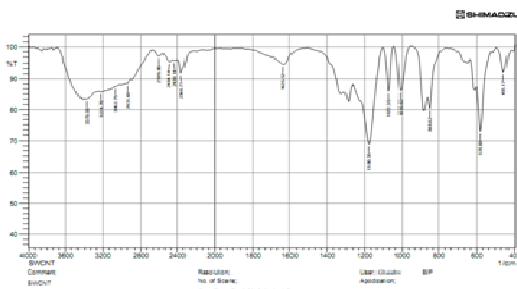
به یک از اسید سولفوریک به اسید نیتریک پراکنده کرده و با سونیکیت کردن در مدت یک ساعت، به حالت تعليق در آورده شد. ۲- سپس ظرف محتوى نانولوله های کربنی در دمای ۵۰ درجه در داخل حمام آب گرم قرار داده شد به طوری که نانولوله ها ضمن اختلاط با یک همزن مغناطیس به مدت هشت ساعت در محیط اکسیداسیون قرار گیرند. ۳- سپس نانولوله های حاصل با استفاده از سانتریفیوژ ۱۲۰۰۰ دور از محیط جداسازی شدند. ۴- سه مرتبه با حجم ۱۰ میلی لیتر از آب دیونیزه شستشو شدند. آب باقیمانده در محیط در مرحله آخر نیز با خشک کننده خلاء خارج گردید. ۵- سپس نانولوله های تغییر یافته در محلولی از تیونیل کلراید قرار گرفتند و یک زمان تعادل ۲۴ ساعته با یک سرعت همزدن ۲۰ دور بر دقیقه برای آن در نظر گرفته شد. دمای محیط در طول تماس با تیونیل کلراید درجه تنظیم شده بود. ۶- سپس برای جداسازی نانولوله ها از محلول تیونیل از یک مرحله دیگر سانتریفیوژ استفاده شد و نانولوله های خشک شده برای اجرای مرحله اتصال سیستئین آماده شدند. ۷- بدین منظور ابتدا محلولی از تری اتیل آمین در دی میل فرماید آماده گردید و محلول از ملح متیل استر سیستئین در آن تهیه گردید. سپس نانولوله های آماده شده در مرحله قبل به محیط اضافه شد و به کمک جریانی از گاز ازت، از تماس هوا با محیط واکنش جلو گیری گردید. پس از یک زمان توقف ۲۴ ساعت در دمای ۵۵ درجه، نانولوله های جداسازی شدند. ۸- در پایان و پس از جداسازی، نانولوله های کربنی طی سه مرحله شستشو با آب دیونیزه، دی میل فرماید و مجددا آب دیونیزه شستشو شدند.

آزمایشات جذب

عوامل مورد بررسی در این پژوهش شامل pH (۲-۱۲)، زمان ماند (۵، ۱۰، ۲۰، ۴۰، ۶۰، ۸۰، ۱۲۰، ۱۸۰ و ۲۴۰ و ۳۰۰ دقیقه)، غلظت اولیه کادمیوم (۰/۰۵، ۱، ۲، ۳، ۶، ۹ و ۱۲ میلی گرم در لیتر) و غلظت نانولوله کربنی (۲، ۵، ۸



تصویر شماره ۱: تصویر میکروسکوپ الکترونی عبوری نانولوله‌های کربنی تک‌جداره مورد استفاده در تحقیق



تصویر شماره ۲: طیف اسپکتروفوتومتری مادون قرمز تبدیل فوریه مربوط به نانولوله‌های کربنی تک‌جداره

(۴۰-۲ میلی گرم) و $pH=7$ و مدت زمان ۲۴ ساعت انجام شد، سپس نمونه‌ها جداسازی شده و آنالیز شده و ظرفیت جذب با استفاده از معادله ۱ به دست آمد (۱۳، ۱۴). به منظور بررسی ایزووترم جذب، از مدل‌های ایزووترمی جذب فروندلیج و لانگمیر استفاده شد. داده‌های جذب با مدل‌های سینتیکی درجه صفر، درجه اول و درجه دوم، به منظور بررسی سینتیک جذب، مطابقت داده شدند. معادلات مربوط به ایزووترم‌ها و سینتیک‌های مورد مطالعه در جدول شماره ۱ آمده است.

جدول شماره ۱: معادلات ایزووترم‌ها و سینتیک‌های مورد بررسی در فرآیند جذب کادمیوم بروی نانولوله‌های کربنی اصلاح شده با ال-سیستئن (۲۶۹ و ۲۷۸ و ۳۶۵)

معادلات سینتیکی	معادلات ایزووترمی
$C - C_0 = -Kt$	سینتیک درجه صفر $\frac{C_0}{Q_0} = \frac{1}{Q_m K} + \frac{C_0}{Q_m}$ لانگمیر
$C = C_0 \times e^{-Kt}$	سینتیک درجه يك $\log \frac{C_0}{C} = \log K_t + \frac{1}{n} \log t$ فروندلیج
$\frac{1}{C} - \frac{1}{C_0} = \frac{n}{Q_m}$	سینتیک درجه دو

یافته‌ها

مشخصات نانولوله‌های کربنی تک‌جداره نانولوله‌های کربنی تک‌جداره مورد استفاده در این تحقیق با درصد خلوص بالاتر از ۹۰ درصد، دارای قطر خارجی ۱-۲ نانومتر، قطر داخلی ۸/۱-۶/۱ نانومتر، طول ۳۰-۵۵ نانومتر، مساحت سطحی ویژه ۳۸۰ مترمربع بر گرم و چگالی واقعی ۲/۱ گرم بر سانتی‌متر مکعب می‌باشند. تصویر میکروسکوپ الکترونی عبوری نانولوله‌های کربنی تک‌جداره در تصویر شماره ۱ آمده است. طیف اسپکتروفوتومتری مادون قرمز تبدیل فوریه نانولوله‌های کربنی تک‌جداره اصلاح شده با ال-سیستئن در تصویر شماره ۲ آورده شده است. همان‌طور که در تصویر شماره ۲ مشاهده می‌شود، ارتعاش کشسانی O-H در ۳۳۷۹، کربونیل آمید (C=O) در ۱۶۳۵ در S-H در ۲۵۹۹، ارتعاش کشسانی پیوند C-H در ۲۹۳۱ در NH در ۲۳۶۰ مشخص است.

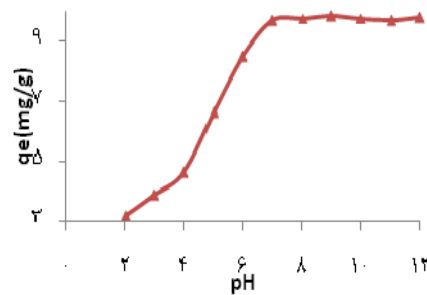
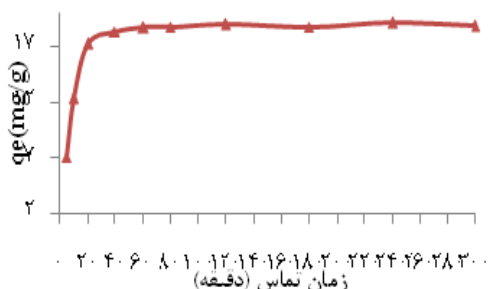
تأثیر pH در دامنه ۲-۱۲ بر روی راندمان حذف کادمیوم مورد بررسی قرار گرفت. تصویر شماره ۳ اثر pH بر میزان جذب کادمیوم از محیط‌های آبی توسط نانولوله‌های کربنی تک‌جداره را نشان می‌دهد. نتایج نشان می‌دهد که میزان جذب کادمیوم توسط نانولوله‌های کربنی تک‌جداره با افزایش pH افزایش می‌یابد. از محدوده pH برابر ۲-۴، این افزایش تدریجی و با شیب کم اتفاق می‌افتد. سپس به یک باره میزان کادمیوم جذب شده همراه با افزایش pH به سرعت افزایش می‌یابد تا زمانی که pH به ۷ می‌رسد که در این pH میزان کادمیوم جذب شده برابر با ۹/۷ میلی گرم بر گرم می‌باشد. بعد از این pH میزان جذب با شیب بسیار ملایم‌تری افزایش می‌یابد و در pH=۱۲ به ۹/۷۹ میلی گرم بر گرم می‌رسد. کارایی حذف کادمیوم توسط نانولوله‌های کربنی تک‌جداره در pH های ۷ و ۱۲ به ترتیب برابر با ۹۷ و ۹۷/۹ درصد می‌باشد.

اثر زمان تماس

تصویر شماره ۵ اثر زمان تماس بر میزان جذب کادمیوم توسط نانولوله‌های کربنی تک‌جداره و چند‌جداره را نشان می‌دهد. میزان کادمیوم جذب شده به ازای جرم نانولوله‌های کربنی تک‌جداره در زمان تماس ۵ دقیقه برابر $7/1$ میلی گرم بر گرم می‌باشد. با گذشت زمان افزایش میزان جذب با سرعت کمتری ادامه می‌یابد به طوری که در زمان تماس 40 و 60 دقیقه، میزان کادمیوم جذب شده به ترتیب برابر با $18/3$ و $18/7$ می‌باشد و در زمان تماس 300 دقیقه به $18/8$ میلی گرم بر گرم می‌رسد. به نظر می‌رسد زمان تعادل برای نانولوله‌های کربنی تک‌جداره در حذف کادمیوم برابر با 40 دقیقه باشد. ازین‌رو برای اطمینان از زمان مناسب برای فرآیند جذب، مدت زمان 60 دقیقه به عنوان زمان تعادل در نظر گرفته شد.

اثر غلظت اولیه کادمیوم

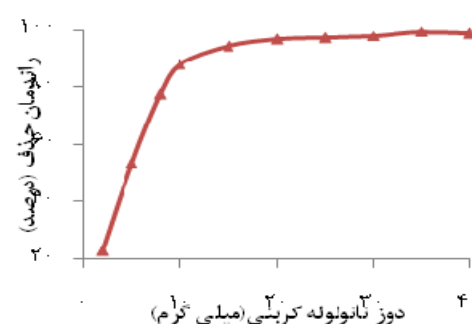
اثر غلظت اولیه کادمیوم بر میزان جذب کادمیوم توسط نانولوله‌های کربنی تک‌جداره در تصویر شماره ۶ نشان داده شده است. از غلظت $0/5$ تا 6 میلی گرم بر لیتر کادمیوم، میزان جرم جذب شده با سرعت زیادی افزایش می‌یابد به طوری که در غلظت‌های $0/5$ و 6 میلی گرم بر لیتر، میزان کادمیوم جذب شده به ترتیب برابر $1/6$ و $18/7$ میلی گرم بر گرم می‌باشد. بعد از این نقطه میزان جرم جذب شده با شیب کمتری افزایش می‌یابد و به آرامی به حالت تعادل می‌رسد. در غلظت 12 میلی گرم بر لیتر کادمیوم، میزان جرم جذب شده برابر با $28/17$ میلی گرم بر گرم می‌باشد.



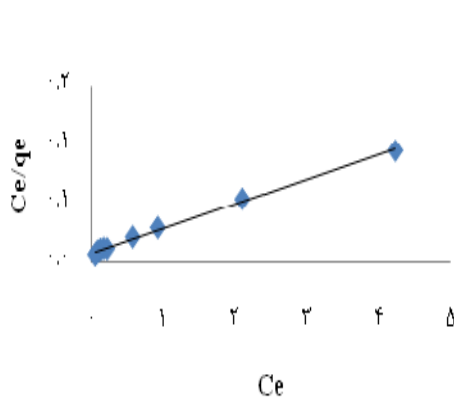
تصویر شماره ۳: اثر pH بر میزان جذب کادمیوم از محیط‌های آبی توسط نانولوله‌های کربنی تک‌جداره (زمان 60 دقیقه، مقدار نانولوله‌های کربنی = 30 میلی گرم، غلظت کادمیوم = 6 میلی گرم بر لیتر)

اثر مقدار جاذب

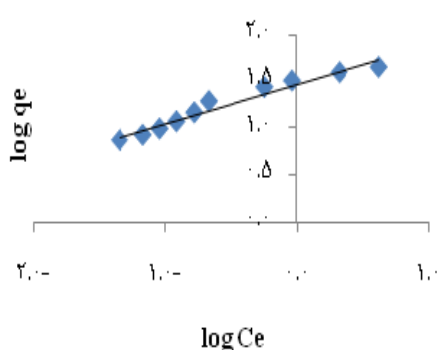
اثر مقدار نانولوله‌های کربنی تک‌جداره بر روی راندمان حذف کادمیوم در یک محدوده $2-40$ میلی گرم در تصویر شماره ۴ آمده است. راندمان حذف کادمیوم در مقدار جاذب برابر با 2 میلی گرم برای نانولوله‌های کربنی تک‌جداره برابر 23 درصد می‌باشد. افزایش راندمان همراه با افزایش مقدار نانولوله‌های کربنی تک‌جداره تا مقدار 10 میلی گرم با یک شیب تندره است و بعد از این نقطه افزایش راندمان با سرعت کمتری اتفاق می‌افتد. راندمان حذف در مقدار 15 میلی گرم به ترتیب برابر $94/3$ درصد می‌باشد که بعد از این نقطه با افزایش مقدار جاذب افزایش قابل توجهی در راندمان حذف کادمیوم صورت نمی‌گیرد. لذا با توجه به جنبه‌های اقتصادی مسأله، مقدار مناسب برای سایر آزمایشات برابر 15 میلی گرم انتخاب شد.



تصویر شماره ۴: اثر مقدار اولیه نانولوله کربنی تک‌جداره بر میزان جذب کادمیوم از محیط‌های آبی (زمان 60 دقیقه، pH=7، غلظت کادمیوم 6 میلی گرم بر لیتر)



الف-لانگمیر



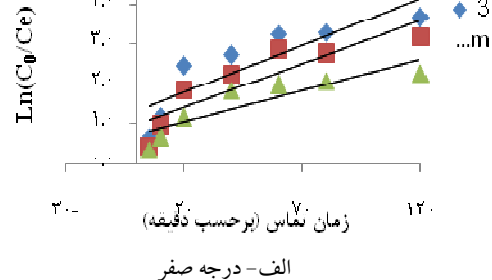
تصویر شماره ۶: ایزوترم لانگمیر (الف) و فروندلیج در جذب کادمیوم با استفاده از نانولوله‌های کربنی تک‌جداره

جدول شماره ۲: ضرایب ثابت و ضرایب همبستگی ایزوترم فروندلیج و لانگمیر در جذب کادمیوم بر روی نانولوله‌های کربنی اصلاح شده با ال-سیستئن (۲۶)

	لانگمیر	فروندلیج	
q _m (mg/g)	۴۷/۱۶	K _F (mg/g) ^{1/n}	۲۹/۳۶
b (L/mg)	۱۳۳/۳۳	1/n	۰/۴۱۸
R ²	۰/۹۹۷	R ²	۰/۹۵۹

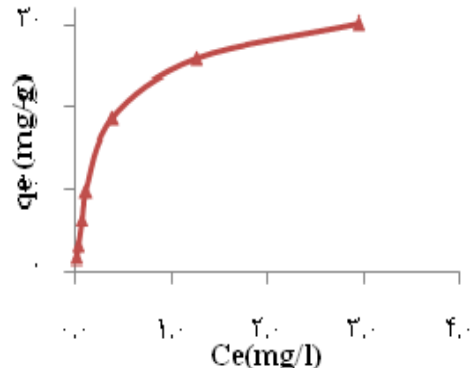
$$1.325x + 0.023y = 0.989x + 0.021y \quad 0.724x + 0.015y = 0.758x = R^2$$

$$0.791 = R^2 \quad 0.791 = R^2$$



الف-درجه صفر

تصویر شماره ۵: اثر زمان تماس بر میزان جذب کادمیوم توسط نانولوله‌های کربنی تک‌جداره (pH=۷، مقدار نانولوله‌های کربنی ۱۵ میلی گرم، غلظت کادمیوم ۶ میلی گرم بر لیتر)



تصویر شماره ۶: اثر غلظت کادمیوم بر میزان جذب کادمیوم از محیط‌های آبی توسط نانولوله‌های کربنی تک‌جداره (pH=۷، مقدار نانولوله‌های کربنی ۱۵ میلی گرم، زمان ۶۰ دقیقه)

ایزوترم و سینتیک جذب

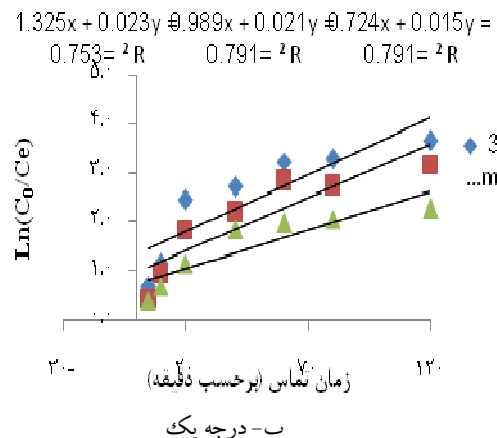
در مطالعات مربوط به جذب آلاینده‌ها بر روی جاذب‌های مختلف، تعیین ایزوترم جذب و ظرفیت جاذب مورد استفاده از مهم‌ترین مشخصه‌هایی هستند که باید مورد توجه قرار گیرد. برای بررسی تطابق داده‌ها با مدل‌های جذب، از حالت‌های خطی معادلات ایزوترم جذب لانگمیر و فروندلیج استفاده گردید که نتایج آن در تصویر شماره ۷ آمده است. براساس بررسی ضرایب همبستگی منحنی‌های این دو مدل جذب، می‌توان چنین نتیجه‌گیری کرد که جذب کادمیوم بر روی نانولوله‌های کربنی تک‌جداره با توجه به ضریب همبستگی بالاتر (R² = ۰/۹۹۷) از ایزوترم جذب لانگمیر پیروی می‌کند. ضرایب ثابت و ضرایب همبستگی ایزوترم‌های مورد بررسی در جدول شماره ۲ آمده است. نتایج حاصل از آزمایشات بررسی سینتیک جذب نشان می‌دهد که سینتیک جذب با ضریب همبستگی برابر با ۰/۹۶۲، ۰/۹۴۲ و ۰/۹۱۸ به ترتیب برای غلظت‌های ۶، ۳ و ۰ میلی گرم بر لیتر، از مدل سینتیکی درجه دوم پیروی می‌کند. تصویر شماره ۸ میزان تطابق داده‌های سینتیکی با مدل سینتیکی درجه دوم را نشان می‌دهد.

کادمیوم در pH های قلیایی نیز تا اندازه‌های با ماکریزم جذب Cd^{2+} مرتبط است (۱۵، ۱۶، ۱۹). پایین بودن راندمان جذب در pH های پایین نیز می‌تواند به نوعی با پروتونه شدن گروههای عاملی تیول و کربوکسیلیک و به دنبال آن حذف توانایی آنها در تشکیل کمپلکس با یونهای کادمیوم، مرتبط باشد. در pH های بالاتر گروههای عاملی دارای بار منفی هستند و بخوبی با کادمیوم تشکیل کی‌لیت می‌دهند (۱۷).

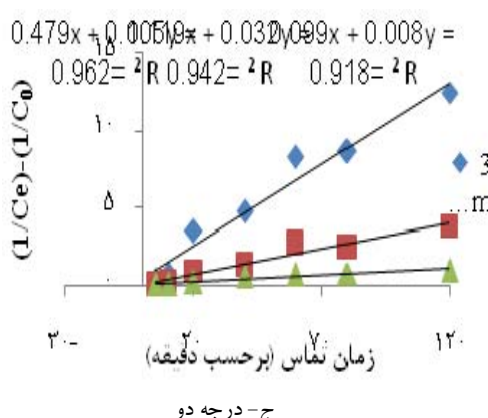
در مطالعه Kosa و همکاران نیز مشخص شد که با افزایش pH راندمان حذف به آرامی افزایش می‌یابد (۱۵). نتایج مطالعه حاضر با نتایج این تحقیق و تحقیق Gao و همکاران مطابقت دارد (۱۸). بر عکس این نتایج این مطالعه که در pH های قلیایی، راندمان با سرعت کمتری ادامه یافت.

در مطالعه Vukovic و همکاران، راندمان حذف کادمیوم برای نانولوله‌های کربنی چند جداره اصلاح شده با اتیلن در آمین و نانولوله‌های کربنی چند جداره به ترتیب بعد از pH های ۹ و ۱۰، بسیار کاهش یافت. شاید بتوان گفت که دلیل این اختلاف در نتایج این است که در مطالعه حاضر بخشی از راندمان مشاهد شده در اثر رسوب کادمیوم می‌باشد که در مطالعه ووکوویک و همکاران مدنظر قرار گرفته است (۹).

نتایج حاصل از بررسی اثر مقدار نانولوله‌های کربنی تک‌جداره بر روی حذف کادمیوم نشان داد که با افزایش مقدار نانولوله‌های کربنی تک‌جداره راندمان حذف کادمیوم افزایش می‌یابد. این افزایش در مقادیر پایین با سرعت بیشتری اتفاق می‌افتد و به تدریج افزایش راندمان با شبیه کمتری، همراه با افزایش مقدار نانولوله‌های کربنی تک‌جداره، ادامه می‌یابد. دلیل این امر می‌تواند در دسترس بودن مساحت سطحی بزرگ‌تر و وجود مکان‌های جذب بیشتر باشد. تا حد یک مقدار خاص، در صد جذب همراه با افزایش مقدار جرم جاذب افزایش می‌یابد و بعد از آن جذب بیشتری اتفاق نمی‌افتد و اصطلاحاً جذب به حالت تعادل می‌رسد (۱۶).



ب- درجه یک



ج- درجه دو

تصویر شماره ۸: درجات سینتیکی حذف کادمیوم با استفاده از فرآیند جذب بر روی نانولوله‌های کربنی تک‌جداره (مقدار نانولوله کربنی = ۱۵ میلی گرم، کادمیوم = ۳، ۶ و ۹ میلی گرم بر لیتر، pH = ۷، زمان تماس = ۰-۱۲۰ min)

بحث

در بررسی تأثیر pH بر روی کارایی فرآیند جذب کادمیوم با استفاده از نانولوله‌های کربنی تک‌جداره، همان‌طور که در تصویر شماره ۳ مشاهده می‌شود، pH محلول نقش مهمی را در فرآیند جذب ایفاء می‌کند و با افزایش pH راندمان جذب افزایش می‌یابد. این واقعیت که جذب بیشتر کادمیوم در pH های بالاتر اتفاق می‌افتد را می‌توان به کاهش رقابت بین H^+ و Cd^{2+} در همان مکان‌های جذب نسبت داد. علاوه بر این، در pH های بالاتر، سطح نانولوله‌های کربنی به میزان بیشتری به صورت منفی باردار می‌شود که این باعث جذب الکترواستاتیکی بیشتر Cd^{2+} می‌شود. حلایت پایین

محلول حذف می‌شود. اما در غلظت‌های بالاتر کادمیوم در محلول، کل مکان‌های جذب در دسترس محدود هستند و بنابراین راندمان حذف کادمیوم کاهش می‌یابد. افزایش q_e در غلظت‌های بالاتر کادمیوم می‌تواند به علت افزایش نیروی محرکه باشد^(۲۱). نتایج این مطالعه با نتایج مطالعه لی و همکاران که حذف کادمیوم با استفاده از نانو لوله‌های اکسید شده با پرمنگنات پتابسیم، نیتریک اسید و پراکسید هیدروژن را مورد بررسی قرار دادند، مطابقت دارد^(۲۲).

این نتایج با نتایج مطالعه Wang و همکاران نیز مطابقت دارد^(۲۳). میزان کاهش راندمان حذف در این مطالعه $22/2$ درصد بسیار کمتر از کاهش راندمان به وجود آمده در مطالعه و همکاران $59/7$ درصد در اثر افزایش غلظت کادمیوم از $0/05$ به 10 میلی گرم بر لیتر بوده است. یکی از دلایل این اختلاف می‌تواند مساحت سطحی ویژه پایین تر نانولوله‌های کربنی چند جداره مورد استفاده در این مطالعه نسبت به مطالعه حاضر دانست ($76/2$ متر مربع بر گرم در مقابل 240 متر مربع بر گرم) و البته بخشی از این تفاوت نیز می‌تواند ناشی از روش اصلاح متفاوت در این مطالعه باشد^(۱۵). ایزوترم‌های فرونالیچ و لانگمیر قدیمی ترین و ساده‌ترین نوع شناخته شده برای توضیح ارتباط پارامترهای معادله جذب سطحی هستند. نتایج حاصل از تطبیق داده‌های جذب با این دو مدل نشان داد که فرآیند جذب کادمیوم بر روی نانو لوله‌های کربنی تک جداره از ایزوترم لانگمیر پیروی می‌کند. براساس فرضیات مدل لانگمیر می‌توان گفت که جذب کادمیوم بر روی نانولوله‌های کربنی تک جداره اصلاح شده با ال-سیستم به صورت جذب تک‌لایه‌ای صرت می‌گیرد. سطح نانو لوله‌های کربنی تک جداره یکنواخت است و جذب تنها در تعداد محدودی جایگاه‌های مشخص اتفاق می‌افتد که همه آن‌ها دارای سطح انرژی یکسانی هستند^(۲۴).

نتایج مطالعات لی و همکاران نیز نشان داد که جذب یون‌های کادمیوم، سرب و مس به خوبی از

Li⁺ و همکاران نیز دلیل افزایش راندمان حذف همراه با افزایش غلظت جاذب را، در دسترس بودن مساحت سطحی و گروه‌های عاملی بیشتر ذکر کردند^(۱۹). در مطالعه کوسا و همکاران نیز مشخص شد که با افزایش جرم جاذب از $0/05$ تا $0/25$ گرم، راندمان حذف کادمیوم از صفر به 39 درصد افزایش می‌یابد که با نتایج این تحقیق مطابقت دارد^(۱۵).

در بررسی اثر زمان بر روی میزان جذب کادمیوم بر روی نانولوله‌های کربنی تک جداره مشخص شد که در دقایق اولیه جذب میزان کادمیوم جذب شده به سرعت افزایش می‌یابد که احتمالاً دلیل آن وجود تعداد زیاد مکان‌های جذب فعال در سطح نانولوله‌های کربنی است. همان‌طور که زمان تماس افزایش می‌یابد، مکان‌های جذب در دسترس برای کادمیوم کاهش یافته و به تدریج بر می‌شوند و بنابراین از سرعت جذب کادمیوم کاسته می‌شود^(۲۰).

نتایج مطالعه ووکوویک و همکاران بر روی جذب کادمیوم با استفاده از نانولوله‌های کربنی چندجداره، چندجداره اکسید شده و چندجداره اصلاح شده با اتیلن دی‌آمین نشان داد که برای هر سه نوع نانولوله با افزایش زمان جذب به سرعت افزایش می‌یابد و 30 دقیقه زمان برای رسیدن به حالت تعادل جذب کافی است^(۹) که با نتایج این مطالعه مطابقت دارد.

همچنین نتایج مطالعه حاضر با نتایج مطالعه Li⁺ و همکاران مطابقت دارد^(۱۱). نتایج حاصل از بررسی اثر غلظت کادمیوم بر روی فرآیند جذب با استفاده از نانولوله‌های کربنی تک جداره نشان داد که با افزایش غلظت کادمیوم اولیه در محلول آبی، میزان کادمیوم جذب شده به ازای جرم جاذب افزایش می‌یابد. شبیه نمودار در محدوده غلظت $0/5$ تا 6 میلی گرم بر لیتر زیاد می‌باشد و پس از آن با سرعت کمتری این افزایش ادامه می‌یابد. در غلظت‌های پایین کادمیوم در محلول، مساحت سطحی و در دسترس بودن مکان‌های جذب تقریباً بالا است و یون کادمیوم به آسانی جذب و از

کاهش می‌یابد و راندمان حذف افزایش می‌یابد. با افزایش غلظت کادمیوم اولیه، میزان کادمیوم جذب شده به ازای واحد جرم توسط نanolوله‌های کربنی تک‌جداره افزایش می‌یابد. داده‌های مربوط به آزمایشات جذب کادمیوم توسط نانولوله‌های کربنی تک‌جداره و چند‌جداره در این مطالعه، مطابقت بیشتری با مدل ایزوترمی لانگمیر دارند. تطبیق بهتر مدل ایزوترمی لانگمیر بیانگر این است که یک لایه (لایه هم‌سان) از جزء جذب شونده سطح جاذب را پوشانده و جذب سطحی هر مولکول جزء جذب شونده دارای انرژی فعال‌سازی (اکتیواسیون) برابری است و همچنین بیانگر همگن بودن جاذب است. جذب کادمیوم توسط نanolوله‌های کربنی تک‌جداره و چند‌جداره، از مدل سینتیکی درجه دوم پیروی کرده است. به‌طور کلی راندمان نanolوله‌های کربنی تک‌جداره اصلاح شده با ال-سیستئین در حذف کادمیوم از محیط‌های آبی بالا بوده و می‌تواند به عنوان یک فرآیند مؤثر در تصفیه آب‌های حاوی کادمیوم به کار برده شود.

سپاسگزاری

هزینه این تحقیق از گرفت تحقیقاتی اعطای بنياد ملی نخبگان به دکتر محمدعلی ززوی تامین شده است. بدینوسیله از بنياد ملی نخبگان بخاطر اعطای گرفت تحقیقاتی، از معاونت تحقیقات و فناوری، مرکز تحقیقات علوم بهداشتی و دانشکده بهداشت دانشگاه علوم پزشکی مازندران در مهیا کردن شرایط انجام تحقیق تشکر و قدردانی می‌گردد. لازم به ذکر است که این مقاله بخشی از پایان‌نامه دوره کارشناسی ارشد آقای محمود تقیوی می‌باشد.

ایزوترم لانگمیر تبعیت می‌کند که با نتایج مطالعه حاضر مطابقت دارد(۱۱). مقدار R_L به دست آمده از ایزوترم لانگمیر برابر 0.0035 می‌باشد و مقدار $n/1$ نیز برای جاذب مورد مطالعه کمتر از ۱ می‌باشد. با توجه به این ضرایب می‌توان گفت که فرآیند جذب در این مطالعه یک فرآیند مطلوب بوده است(۲۶). سینتیک فرآیند جذب نیز مدل سینتیک درجه دوم پیروی می‌کند که واکنش‌های درجه دوم با سرعتی متناسب با توان دوم یک ماده اولیه پیش می‌روند(۲۷). در سینتیک درجه دو فرض می‌شود که دو واکنش اتفاق می‌افتد و به تعادل می‌رسد و دیگری به کندی اتفاق می‌افتد و می‌تواند برای دوره‌های زمانی طولانی مدت ادامه یابد. این واکنش‌ها هم می‌توانند به صورت سری و هم به صورت موازی رخ دهند(۲۸). در این مطالعه نیز سرعت اولیه جذب زیاد است و فرآیند جذب کادمیوم تا ۳۰ دقیقه ایتدایی با سرعت زیادی اتفاق می‌افتد به‌طوری که در دقایق ابتدایی سرعت جذب بسیار زیاد است. بعد گذشت مدت زمان ۳۰ دقیقه، فرآیند جذب با سرعت کمتری ادامه می‌یابد. به‌طوری که اختلاف جذب در زمان‌های مختلف ناچیز بوده و زمان به تعادل رسیدن نهایی بسیار زیاد است.

در پایان می‌توان نتیجه‌گیری کرد که راندمان حذف کادمیوم توسط نanolوله‌های کربنی تک‌جداره در pH های قلیایی افزایش می‌یابد. اما بخشی از این افزایش مشاهده شده به دلیل ترسیب کادمیوم در اثر افزایش pH می‌باشد. بنابراین pH بهینه برای حذف کادمیوم توسط نanolوله‌های کربنی تک‌جداره در محدوده ۶-۸ می‌باشد. با افزایش غلظت نanolوله‌های کربنی تک‌جداره، میزان کادمیوم جذب شده به ازای واحد جرم نanolوله کربنی

References

1. Rao R, Kashifuddin M. Adsorption studies of Cd(II) on ball clay: Comparison with other natural clays. Arabian Journal of Chemistry. 2012;In press.

2. Wang FY, Wang H, Ma JW. Adsorption of cadmium (II) ions from aqueous solution by a new low-cost adsorbent-Bamboo charcoal. *Journal of Hazardous Materials*. 2010;177(1-3):300-6.
3. Gutierrez-Segura E, Solache-Ríos M, Colín-Cruz A, Fall C. Adsorption of cadmium by Na and Fe modified zeolitic tuffs and carbonaceous material from pyrolyzed sewage sludge. *Journal of Environmental Management*. 2012;97:6-13.
4. Balkaya Nn, Cesur H. Adsorption of cadmium from aqueous solution by phosphogypsum. *Chemical Engineering Journal*. 2008;140(1-3):247-54.
5. Tofighy MA, Mohammadi T. Permanent hard water softening using carbon nanotube sheets. *Desalination*. 2011;268(1-3):208-13.
6. Atar N, Olgun A, Wang S. Adsorption of cadmium (II) and zinc (II) on boron enrichment process waste in aqueous solutions: Batch and fixed-bed system studies. *Chemical Engineering Journal*. 2012;192:V-1:
7. Azouaou N, Sadaoui Z, Djaafrı A, Mokaddem H. Adsorption of cadmium from aqueous solution onto untreated coffee grounds: Equilibrium, kinetics and thermodynamics. *Journal of Hazardous Materials*. 2010;184(1-3):126-34.
8. Irani M, Keshtkar AR, Mousavian MA. Removal of Cd(II) and Ni(II) from aqueous solution by PVA/TEOS/TMPTMS hybrid membrane. *Chemical Engineering Journal*. 2011; 175: 251-9.
9. Vukovic GD, Marinkovic AD, Colic M, Ristic MD, Aleksic R, Peric-Grujic AA, et al. Removal of cadmium from aqueous solutions by oxidized and ethylenediamine-functionalized multi-walled carbon nanotubes. *Chemical Engineering Journal*. 2010;157(2010):238-48.
10. Liu Y, Li Y, Yan X-P. Preparation, Characterization, and Application of L-Cysteine Functionalized Multiwalled Carbon Nanotubes as a Selective Sorbent for Separation and Preconcentration of Heavy Metals. *advanced functional materials*. 2008;18:1536-4.
11. Yan-hui L, Ze-chao D, Zhao-kun L. Removal of heavy metals from aqueous solution by carbon nanotubes: adsorption equilibrium and kinetics. *Journal of Environmental sciences*. 2004;16(2):208-11.
12. Krika F, Azzouz N, Ncibi MC. Adsorptive removal of cadmium from aqueous solution by cork biomass: Equilibrium, dynamic and thermodynamic studies. *Arabian Journal of Chemistry*. 202;In press
13. Kalavathy MH, Karthikeyan T, Rajgopal S, Miranda LR. Kinetic and isotherm studies of Cu(II) adsorption onto H₃PO₄-activated rubber wood sawdust. *Journal of Colloid and Interface Science*. 2005;292(2):354-62.
14. Li Q, Zhai J, Zhang W, Wang M, Zhou J. Kinetic studies of adsorption of Pb(II), Cr(III) and Cu(II) from aqueous solution by sawdust and modified peanut husk. *Journal of Hazardous Materials*. 2007;141(1):163-7.
15. Kosa SA, Al-Zhrani G, Abdel Salam M. Removal of heavy metals from aqueous solutions by multi-walled carbon nanotubes modified with 8-hydroxyquinoline. *Chemical Engineering Journal*. 2012;181-182(0):159-68
16. Rao GP, Lu C, Su F. Sorption of divalent metal ions from aqueous solution by carbon nanotubes: A review .*Separation and Purification Technology*. 2007;58(1):224-31.



17. Dakova I, Vasileva P, Karadjova I. Cysteine modified silica submicrospheres as a new sorbent for preconcentration of Cd (II) and Pb (II). Bulgarian Chemical Communications. 2011;43(2):210–6.
18. Gao Z, Bandosz TJ, Zhao Z, Han M, Qiu J. Investigation of factors affecting adsorption of transition metals on oxidized carbon nanotubes. Journal of Hazardous Materials. 2009;167(1-3):357-65.
19. Lu C, Liu C. Removal of nickel(II) from aqueous solution by carbon nanotubes. Chem Technol Biotechnol. 2006;81:1932-40.
20. Xiong L, Chen C, Chen Q, Ni J. Adsorption of Pb(II) and Cd(II) from aqueous solutions using titanate nanotubes prepared via hydrothermal method. Journal of Hazardous Materials. 2011;189(3.۸-۷۴۱):
21. Fouladi Tajar A, Kaghazchi T, Soleimani M. Adsorption of cadmium from aqueous solutions on sulfurized activated carbon prepared from nut shells. Journal of Hazardous Materials. 2009;165(1-3):1159-64.
22. Li Y-H, Wang S, Luan Z, Ding J, Xu C, Wu D. Adsorption of cadmium(II) from aqueous solution by surface oxidized carbon nanotubes. Carbon. 2003;41(5):1057-62.
23. Wang HJ, Zhou AL, Peng F, Yu H, Chen LF. Adsorption characteristic of acidified carbon nanotubes for heavy metal Pb(II) in aqueous solution. Materials Science and Engineering A. 2007;466(1-2):201-6.
24. Xin X, Si W, Yao Z, Feng R, Du B, Yan L, et al. Adsorption of benzoic acid from aqueous solution by three kinds of modified bentonites. Journal of Colloid and Interface Science. 2011; 359(2): 499-504.
25. Vasiliu S, Bunia I, Racovita S, Neagu V. Adsorption of cefotaxime sodium salt on polymer coated ion exchange resin microparticles: Kinetics, equilibrium and thermodynamic studies. Carbohydrate Polymers. 2011;85:376–87
26. Wang L, Zhang J, Zhao R, Li Y, Li C, Zhang C. Adsorption of Pb(II) on activated carbon prepared from Polygonum orientale Linn.: Kinetics, isotherms, pH, and ionic strength studies. Bioresource Technology. 2010;101:5808–14
27. Metcalf & Eddy I, Tchobanoglou G, Burton F, Burton F, Stensel HD. Wastewater Engineering: Treatment and Reuse. New York: McGraw-Hill Science Engineering; 2003.
28. Covelo F, Andrade L, Vega A. Heavy metal adsorption by humic umbrisols: selectivity sequences and competitive sorption kinetics. Journal of Colloid and Interface Science 2004; 280: 1-8.